

## 折板鋼板を用いた合成床版の耐荷力について

徳山高尙 正員 重松恒美

徳山高尙 正員 原 隆

徳山高尙 正員 ○田村隆弘

呉高専 正員 中野修治

1. まえがき：近年、構梁工事の中でも最も作業能率の悪いとされるRC床版に代わるものとして、鋼板とコンクリートによる合成床版の研究開発が進められている。この鋼板を用いた合成床版では、配筋作業を削除することができると共に、型枠・支保工を不要とすることから、大幅な工期・労力の低減を図ることができ、また、この鋼板を折板鋼板として剛性を高めることによって、合成床版の耐荷力の増大を考慮でき、近いでは、床版厚の減少、軽量化を図ることができる。本研究では、この多くのメリットを持つ合成床版の実用性を考えるべく、耐荷力等について、理論と実験により基礎的な解析を行なった。

### 2. 理論

2-1. 終局モーメント：従来のRC断面の場合、断面の合成断面2次モーメント  $I_v$  を考える際に、鉄筋の項  $I_s$  がほとんど無視できるくらい微少なものである。たが、鋼板をU字型、V字型、△字型の断面にすることにより、 $I_s$  を幾らか増加させることができ、従って、合成断面2次モーメント  $I_v$  の増加を図ることが可能となる。

$$I_v = I_s + \frac{1}{n} I_c$$

$I_c$  : コンクリートの断面2次モーメント  
 $n$  : 弹性係数比

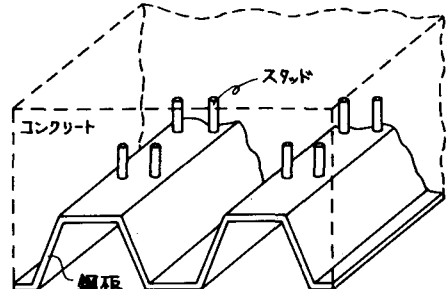


図-1. 折板鋼板を有する合成床版

よって、ACIに従つた塑性理論による終局モーメント  $M_u$  は、次式で与えられる。

$$M_u = \sigma_{sy} \cdot I_v \frac{1}{d-x} = \sigma_{sy} \cdot I_v \frac{1}{d(1 - \frac{P}{0.85 \sigma_{sy} k_1})}$$

$\sigma_{sy}$ : 鋼の降伏応力  
 $\sigma'_c$ : コンクリートの圧縮強度  
 $k_1$ : 定数

2-2. 作用せん断力に対して：折板鋼板を用いた合成床版とした場合、折板鋼板の上縁が合成断面中立軸近くまで至るため、結合位置での作用水平せん断力が大きなものとなり、よって鋼板とコンクリートの間のShear-connectorの選択が1つの問題となる。本報では、元素、合成筋で使用されてきたジベルによる結合と、近年開発が急速に進んだエポキシ樹脂や接着剤による結合を適用した。それぞれの適用にあたっては、ジベルに関しては、道路橋示方書に示されるところのスタッドジベルの項を適用し、接着剤については、そのバネ定数  $C$  が  $50,000 \text{ kg/cm}$  以上で剛結合とみなせらる<sup>2)</sup>という条件のもとに適用した。バネ定数  $C$  の確認にあたっては、図-2に示すような押抜きせん断試験を行ない、次式により求めた。

$$\delta_{(x)} = \frac{T_{(x)}}{C}$$

$\delta_{(x)}$ : 荷重  $x$  における弹性変形量 (cm)  
 $T_{(x)}$ : 荷重  $x$  における水平せん断力 (kg/cm)

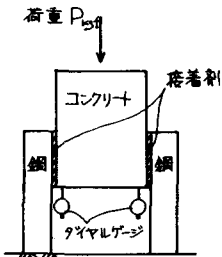


図-2. 押抜きせん断試験

### 3. 実験概要

3-1. 断面の決定並びに供試体の作製：合成断面の断面諸量の決定にあたっては、今回、表-1に示すようなら5種類の折板鋼板断面に対して、それぞれ合成断面の破壊モードが引張破壊となるように、つまり、鉄筋比や平均鉄筋比  $P_0$  以下となるよう決定してゆく。(ACIより)

$$P = \frac{A_s}{bd} < P_0 = \frac{0.85 \times K_1 \times \sigma'_c}{\sigma_{sy}} \cdot \frac{0.003}{0.003 + \sigma_{sy}/E_s}$$

$E_s$ : 鋼の弾性係数  
 $A_s$ : 鋼板断面積

また、終局時の中立軸位置 $x$ は(図-3より $C = T$ であるから)

$$x = k_{ud} = \frac{P\sigma_{sy}}{0.85f'_c k_i} d$$

となる。また、弹性時ににおいて、中立軸位置 $x$ が折板内に入ることを許さないとして

$$x' = \frac{G_c + n G_s}{A_c + n A_s} < h - h'$$

$G_c$ : コンクリート上縁よりのコンクリートの  
断面1次モーメント  
 $G_s$ : コンクリート上縁よりの鋼の断面1  
次モーメント

でなければならぬ。

また、供試体の作製において、Shear-connector の取りつけは、ジベルについては、市販のボルトを図-3 のように取りつけ、接着剤については、エポキシ樹脂系接着剤 SHO-BOND 202 に珪砂と重量比 1:1 の割合で混合し、流動性を低下させて、結合面全域に接着剤が確実に塗布されるようとする。そして、コンクリートの打設は、接着剤の硬化前に行なわぬ、空気中養生を行なう。

3-2. 曲げ試験：図-4 に示されるように、全スパン 80cm で、中央において間隔 15cm で 2 点載荷試験を行ない、スパン中央におけるひずみ $\epsilon_0$  及び、載荷点におけるたわみ $w_0$  の測定を行なった。

4. 結果及び検討：図-5・6 に、スパン中央における鋼板下縁、鋼板上縁、コンクリート上縁におけるひずみ $\epsilon$ 、及び、載荷点におけるたわみ $w$  の代表的な結果を示すが、いずれも、ほぼ理論値と一致している。表-1 は、折板鋼板を用いた各断面の終局モーメントと、それに等しい有効高さ、全幅、そして鉄筋量を持つ RC 断面の終局モーメントを比較したものであるが、鋼板断面 2 次モーメントの大きな断面ほど、従来の RC 断面に比する終局モーメントが大となることは自明である。コンクリートと鋼板の結合においては、ジベルによる場合も接着剤による場合も、一応十分であると言えるが、ジベル結合の場合にかなりのスタッドを装備しなければならないことを考えると、接着剤を使用した上に、用心として止めねね程度のスタッドを用意する方法が施工性・安全性の上からも良策と言えよう。

また、今回の実験において、さきに述べたつり合い鉄筋比と、中立軸の位置における条件で断面を決定したが、その際、確かに破壊モードは鋼板下縁より引張破壊となつたが、鋼の塑性状態鋼板上縁まで至る以前に、コンクリートへ圧壊が起つた。従つて、鋼断面が全塑性となる場合を終局状態とし、引張破壊をせようとするとならば、つり合い鉄筋比は、以下の式を満たさなければならない。

$$\gamma \leq \frac{k_x \times 0.85 \times f'_c}{\sigma_{sy}} \cdot \frac{0.003}{0.003 + \sigma_{sy}/E_s} \cdot \frac{h - h'}{d}$$

今後の課題としては、連続梁として使用する際の理想的な断面形状の決定などが挙げられるよう。

文献 1) W.Reinsch, R.Cordes, W.Sowa, "Eine neue Trapezblechdecke mit starrem Verbund" DER STAHLBAU 1/1978

2) 長尾、重松、小林, "接着合成断面 2,3 の性質について" 中日四国支那昭和 49 年度学会講演会講演概要

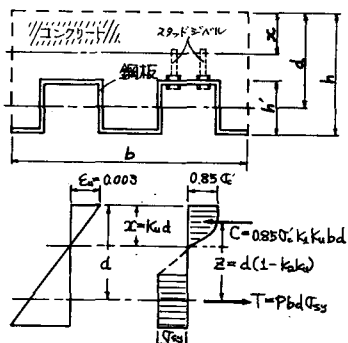


図-3. 合成断面および応力-ひずみ分布

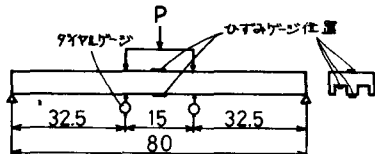


図-4. 曲げ試験

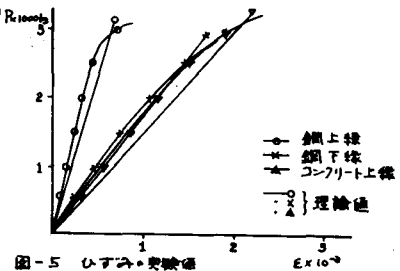


図-5 ひずみ-変形曲線

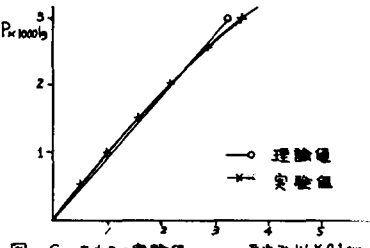


図-6 たわみ-荷重曲線

表-1

鋼断面	從来の RC 断面の $M_{u0}$ $\text{kg} \cdot \text{m}^2$	折板鋼 断面の $M_{u0}$ $\text{kg} \cdot \text{m}^2$	実験値 $\text{kg} \cdot \text{m}^2$
直角	39412	41173	44688
直角	27542	28733	31688
直角	27919	31231	33313
トーピード	16709	19383	29250
トーピード	36723	43508	50375